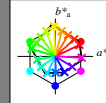


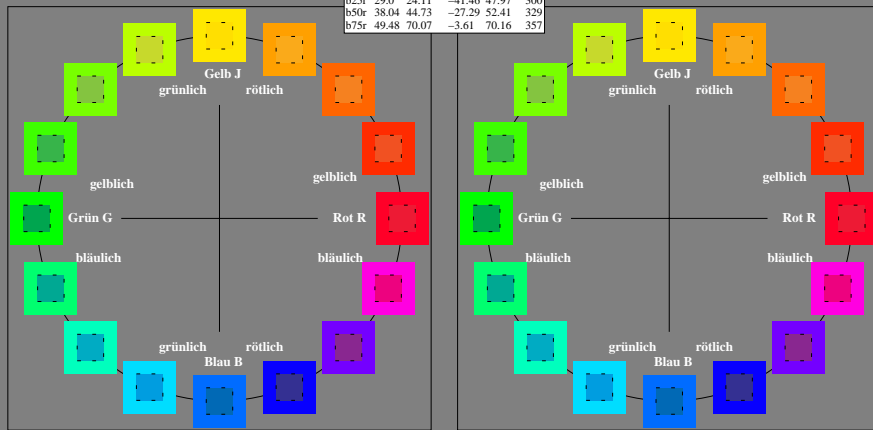
Ein und Ausgabe:
Farbmetrisches Drucker-Reflektiv-System ORS20_95a
Daten für jede Farbe:
 $lab^{*}ich^{*}$ und $lab^{*}icu^{*}$
Elementar-Bunttonext:
 $u^{*} = 16$ Bunttöne $r00j$, $r25j$, ..., $b75r$
Kontrastreduzierungsfaktor:
 $c_R = 0.96$

ORS20_95a; adaptierte CIELAB-Daten					
	$L^{*}-L^{*}_a$	a^{*}_a	b^{*}_a	$C^{*}_{ab,a}$	$h^{*}_{ab,a}$
r00j	48.88	63.91	30.45	70.79	25
r25j	55.85	50.36	45.65	67.97	42
r50j	65.45	33.86	56.12	65.54	59
r75j	75.19	17.13	66.73	68.89	76
j00g	87.03	-3.21	79.64	79.7	92
j25g	80.72	-24.03	66.82	71.01	110
j50g	70.64	-38.01	49.96	62.78	127
j75g	61.93	-50.08	35.41	61.34	145
g00b	52.8	-62.76	20.12	65.91	162
g25b	55.7	-47.65	-8.05	48.34	190
g50b	57.82	-36.91	-27.79	46.22	217
g75b	55.5	-21.19	-44.16	49.0	244
b00r	41.6	1.31	-43.27	43.3	272
b25r	29.0	24.11	-41.46	47.97	300
b50r	38.04	44.73	-27.29	52.41	329
b75r	49.48	70.07	-3.61	70.16	357

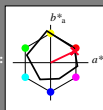


%Umfang
 $u^{*}_{rel} = 83$
%Regelartität
 $g^{*}_{H,rel} = 72$
 $g^{*}_{C,rel} = 57$

ORS20_95a; adaptierte CIELAB-Daten					
	$L^{*}-L^{*}_a$	a^{*}_a	b^{*}_a	$C^{*}_{ab,a}$	$h^{*}_{ab,a}$
O _{Ma}	48.75	62.56	37.91	73.15	31
Y _{Ma}	90.92	-9.88	83.88	84.46	97
L _{Ma}	52.69	-62.9	19.95	66.0	162
C _{Ma}	59.61	-27.85	-44.43	52.45	238
V _{Ma}	28.39	22.72	-42.42	48.13	298
M _{Ma}	49.58	71.08	-9.19	71.67	353
N _{Ma}	20.0	0.0	0.0	0.0	0
W _{Ma}	95.0	0.0	0.0	0.0	0
R _{CIE}	39.92	58.74	27.99	65.07	25
J _{CIE}	81.26	-2.88	71.56	71.62	92
G _{CIE}	52.23	-42.41	13.6	44.55	162
B _{CIE}	30.57	1.41	-46.46	46.49	272



Ein und Ausgabe: Farbmetrisches Drucker-Reflektiv-System ORS20_95a für relativen CIELAB-Buntton $h^* = lab^*h^* = h_{ab}/360 = 25/360 = 0.071$ $u^* = r00j$
Daten für jede Farbe:
 lab^*ich^* und lab^*icu^*
Elementar-Bunttontext:
 $u^* = r00j$
Kontrastreduzierungsfaktor:
 $c_R = 0.96$
Dreiecks-Helligkeit t^*



ORS20_95a; adaptierte CIELAB-Daten					
$L^* = L^*_a$	a^*_a	b^*_a	C^*_{aba}	h^*_{aba}	
O _{Ma}	48.75	62.56	37.91	73.15	31
Y _{Ma}	90.92	-9.88	83.88	84.46	97
L _{Ma}	52.69	-62.9	19.95	66.0	162
C _{Ma}	59.61	-27.85	-44.43	52.45	238
V _{Ma}	28.39	22.72	-42.42	48.13	298
M _{Ma}	49.58	71.08	-9.19	71.67	353
N _{Ma}	20.0	0.0	0.0	0.0	0
W _{Ma}	95.0	0.0	0.0	0.0	0
R _{CIE}	39.92	58.74	27.99	65.07	25
J _{CIE}	81.26	-2.88	71.56	71.62	92
G _{CIE}	52.23	-42.41	13.6	44.55	162
B _{CIE}	30.57	1.41	-46.46	46.49	272

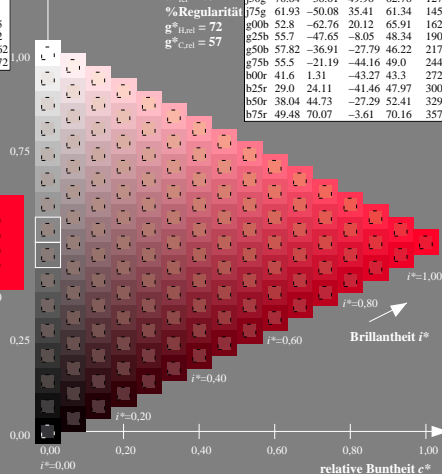
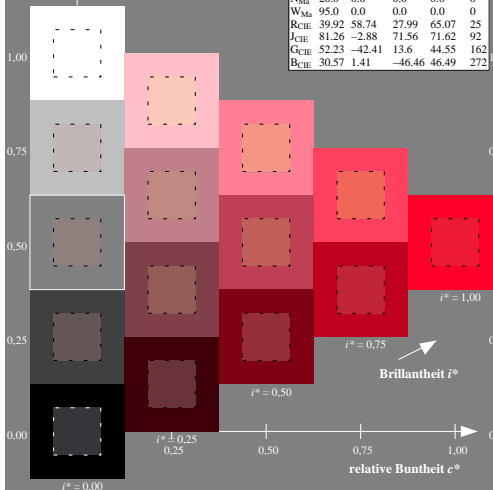
Daten für Maximalfarbe (Ma):

LAB^*LAB^*Ma : 49 64 30
 LAB^*LCH^*Ma : 49 71 25
 lab^*rgb^*Ma : 1.0 0.0 0.0
 lab^*olv^*Ma : 1.0 0.0 0.16

ORS20_95a; adaptierte CIELAB-Daten					
$L^* = L^*_a$	a^*_a	b^*_a	C^*_{aba}	h^*_{aba}	
r00j	48.88	63.91	30.45	70.79	25
r25j	55.85	50.36	45.65	67.97	42
r50j	65.45	33.86	56.12	65.54	59
r75j	75.19	17.13	66.73	68.89	76
j00g	87.03	-3.21	79.64	79.7	92
j25g	80.72	-24.03	66.82	71.01	110
j50g	70.64	-38.01	49.96	62.78	127
j75g	61.93	-50.08	35.41	61.34	145
g00b	52.8	-62.76	20.12	65.91	162
g25b	55.7	-47.65	-8.05	48.34	190
g50b	57.82	-36.91	-27.79	46.22	217
g75b	55.5	-21.19	-44.16	49.0	244
b00r	41.6	1.31	-43.27	43.3	272
b25r	29.0	24.11	-41.46	47.97	300
b50r	38.04	44.73	-27.29	52.41	329
b75r	49.48	70.07	-3.61	70.16	357

Dreiecks-Helligkeit t^*

%Umfang
 $u^*_{rel} = 83$
%Regularität
 $g^*_{H,rel} = 72$
 $g^*_{C,rel} = 57$



Ein und Ausgabe: Farbmetrisches Drucker-Reflektiv-System ORS20_95a für relativen CIELAB-Buntton $h^* = lab^*h^* = h_{ab}/360 = 42/360 = 0.117$ $u^* = r25j$

Daten für jede Farbe:

lab^*ich^* und lab^*icu^*

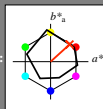
Elementar-Bunttontext:

$u^* = r25j$

Kontrastreduzierungsfaktor:

$c_R = 0.96$

Dreiecks-Helligkeit t^*



ORS20_95a; adaptierte CIELAB-Daten					
$L^* = L^*_a$	a^*_a	b^*_a	C^*_{aba}	h^*_{aba}	
O _{Ma}	48.75	62.56	37.91	73.15	31
Y _{Ma}	90.92	-9.88	83.88	84.46	97
L _{Ma}	52.69	-62.9	19.95	66.0	162
C _{Ma}	59.61	-27.85	-44.43	52.45	238
V _{Ma}	28.39	22.72	-42.42	48.13	298
M _{Ma}	49.58	71.08	-9.19	71.67	353
N _{Ma}	20.0	0.0	0.0	0.0	0
W _{Ma}	95.0	0.0	0.0	0.0	0
R _{CIE}	39.92	58.74	27.99	65.07	25
J _{CIE}	81.26	-2.88	71.56	71.62	92
G _{CIE}	52.23	-42.41	13.6	44.55	162
B _{CIE}	30.57	1.41	-46.46	46.49	272

Daten für Maximalfarbe (Ma):

LAB^*LAB^*Ma : 56 50 46

LAB^*LCH^*Ma : 56 68 42

lab^*rgb^*Ma : 1.0 0.25 0.0

lab^*olv^*Ma : 1.0 0.17 0.0

Dreiecks-Helligkeit t^*

%Umfang

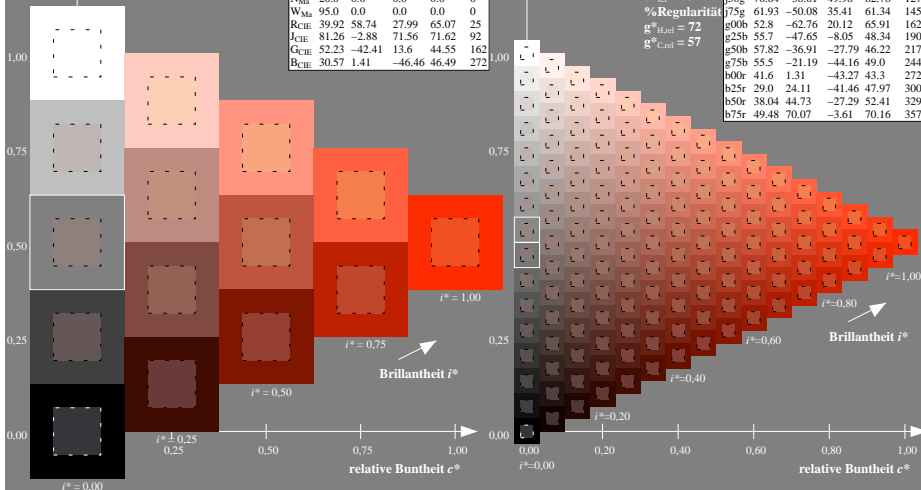
$u^*_{rel} = 83$

%Regularität

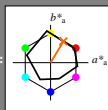
$g^*_{H,rel} = 72$

$g^*_{C,rel} = 57$

ORS20_95a; adaptierte CIELAB-Daten					
$L^* = L^*_a$	a^*_a	b^*_a	C^*_{aba}	h^*_{aba}	
r00j	48.88	63.91	30.45	70.79	25
r25j	55.85	50.36	45.65	67.97	42
r50j	65.45	33.86	56.12	65.54	59
r75j	75.19	17.13	66.73	68.89	76
j00g	87.03	-3.21	79.64	79.7	92
j25g	80.72	-24.03	66.82	71.01	110
j50g	70.64	-38.01	49.96	62.78	127
j75g	61.93	-50.08	35.41	61.34	145
g00b	52.8	-62.76	20.12	65.91	162
g25b	55.7	-47.65	-8.05	48.34	190
g50b	57.82	-36.91	-27.79	46.22	217
g75b	55.5	-21.19	-44.16	49.0	244
b00r	41.6	1.31	-43.27	43.3	272
b25r	29.0	24.11	-41.46	47.97	300
b50r	38.04	44.73	-27.29	52.41	329
b75r	49.48	70.07	-3.61	70.16	357



Ein und Ausgabe: Farbmetrisches Drucker-Reflektiv-System ORS20_95a für relativen CIELAB-Buntton $h^* = lab^*h^* = h_{ab}/360 = 59/360 = 0.164$ $u^* = r50j$
Daten für jede Farbe:
 lab^*ich^* und lab^*icu^*
Elementar-Bunttontext:
 $u^* = r50j$
Konstanzreduzierungsfaktor:
 $c_R = 0.96$
Dreiecks-Helligkeit t^*



ORS20_95a; adaptierte CIELAB-Daten					
$L^* = L^*_a$	a^*_a	b^*_a	C^*_{aba}	h^*_{aba}	
O _{Ma}	48.75	62.56	37.91	73.15	31
Y _{Ma}	90.92	-9.88	83.88	84.46	97
L _{Ma}	52.69	-62.9	19.95	66.0	162
C _{Ma}	59.61	-27.85	-44.43	52.45	238
V _{Ma}	28.39	22.72	-42.42	48.13	298
M _{Ma}	49.58	71.08	-9.19	71.67	353
N _{Ma}	20.0	0.0	0.0	0.0	0
W _{Ma}	95.0	0.0	0.0	0.0	0
R _{CIE}	39.92	58.74	27.99	65.07	25
J _{CIE}	81.26	-2.88	71.56	71.62	92
G _{CIE}	52.23	-42.41	13.6	44.55	162
B _{CIE}	30.57	1.41	-46.46	46.49	272

Daten für Maximalfarbe (Ma):

$LAB^*LAB^*_{Ma}$: 65 34 56

$LAB^*LCH^*_{Ma}$: 65 66 59

$lab^*rgb^*_{Ma}$: 1.0 0.5 0.0

$lab^*olv^*_{Ma}$: 1.0 0.4 0.0

Dreiecks-Helligkeit t^*

ORS20_95a; adaptierte CIELAB-Daten					
$L^* = L^*_a$	a^*_a	b^*_a	C^*_{aba}	h^*_{aba}	
r00j	48.88	63.91	30.45	70.79	25
r25j	55.85	50.36	45.65	67.97	42
r50j	65.45	33.86	56.12	65.54	59
r75j	75.19	17.13	66.73	68.89	76
j00g	87.03	-3.21	79.64	79.7	92
j25g	80.72	-24.03	66.82	71.01	110
j50g	70.64	-38.01	49.96	62.78	127
j75g	61.93	-50.08	35.41	61.34	145
g00b	52.8	-62.76	20.12	65.91	162
g25b	55.7	-47.65	-8.05	48.34	190
g50b	57.82	-36.91	-27.79	46.22	217
g75b	55.5	-21.19	-44.16	49.0	244
b00r	41.6	1.31	-43.27	43.3	272
b25r	29.0	24.11	-41.46	47.97	300
b50r	38.04	44.73	-27.29	52.41	329
b75r	49.48	70.07	-3.61	70.16	357

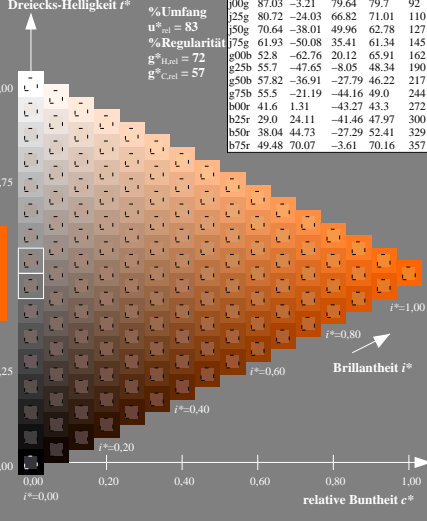
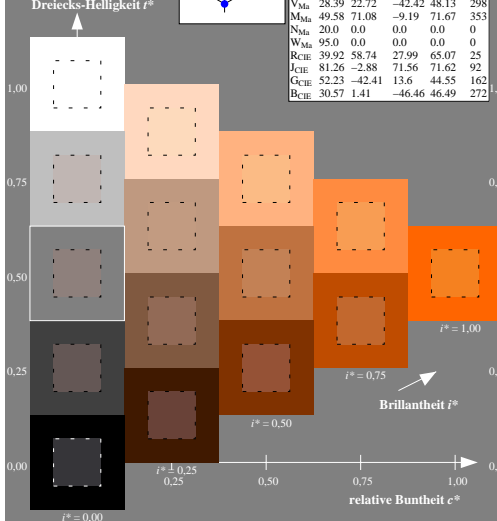
%Umfang

$u^*_{rel} = 83$

%Regularität

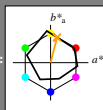
$g^*_{H,rel} = 72$

$g^*_{C,rel} = 57$



Ein und Ausgabe: Farbmetrisches Drucker-Reflektiv-System ORS20_95a für relativen CIELAB-Buntton $h^* = lab^*h^* = h_{ab}/360 = 76/360 = 0.21$ $u^* = r75j$
Daten für jede Farbe:
 lab^*ich^* und lab^*icu^*
Elementar-Bunttontext:

$u^* = r75j$
Konstanzreduzierungsfaktor:
 $c_R = 0.96$
Dreiecks-Helligkeit t^*



ORS20_95a; adaptierte CIELAB-Daten					
$L^* = L^*_a$	a^*_a	b^*_a	C^*_{aba}	h^*_{aba}	
O _{Ma}	48.75	62.56	37.91	73.15	31
Y _{Ma}	90.92	-9.88	83.88	84.46	97
L _{Ma}	52.69	-62.9	19.95	66.0	162
C _{Ma}	59.61	-27.85	-44.43	52.45	238
V _{Ma}	28.39	22.72	-42.42	48.13	298
M _{Ma}	49.58	71.08	-9.19	71.67	353
N _{Ma}	20.0	0.0	0.0	0.0	0
W _{Ma}	95.0	0.0	0.0	0.0	0
R _{CIE}	39.92	58.74	27.99	65.07	25
J _{CIE}	81.26	-2.88	71.56	71.62	92
G _{CIE}	52.23	-42.41	13.6	44.55	162
B _{CIE}	30.57	1.41	-46.46	46.49	272

Daten für Maximalfarbe (Ma):

LAB^*LAB^*Ma : 75 17 67

LAB^*LCH^*Ma : 75 69 76

lab^*rgb^*Ma : 1.0 0.75 0.0

lab^*olv^*Ma : 1.0 0.63 0.0

Dreiecks-Helligkeit t^*

%Umfang

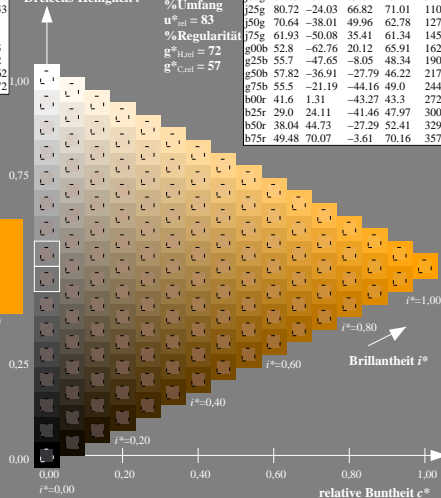
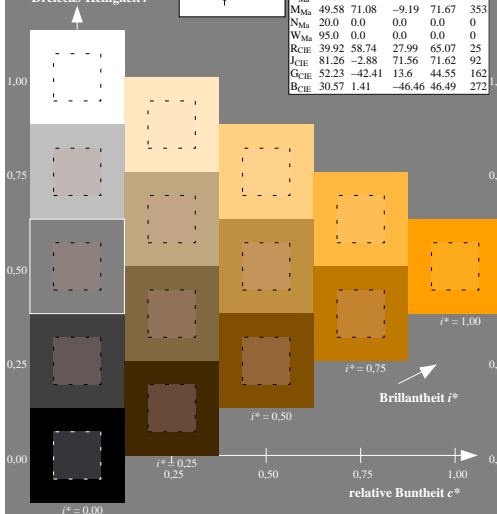
$u^*_{rel} = 83$

%Regularität

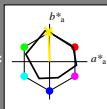
$g^*_{H,rel} = 72$

$g^*_{C,rel} = 57$

ORS20_95a; adaptierte CIELAB-Daten					
$L^* = L^*_a$	a^*_a	b^*_a	C^*_{aba}	h^*_{aba}	
r00j	48.88	63.91	30.45	70.79	25
r25j	55.85	50.36	45.65	67.97	42
r50j	65.45	33.86	56.12	65.54	59
r75j	75.19	17.13	66.73	68.89	76
j00g	87.03	-3.21	79.64	79.7	92
j25g	80.72	-24.03	66.82	71.01	110
j50g	70.64	-38.01	49.96	62.78	127
j75g	61.93	-50.08	35.41	61.34	145
g00b	52.8	-62.76	20.12	65.91	162
g25b	55.7	-47.65	-8.05	48.34	190
g50b	57.82	-36.91	-27.79	46.22	217
g75b	55.5	-21.19	-44.16	49.0	244
b00r	41.6	1.31	-43.27	43.3	272
b25r	29.0	24.11	-41.46	47.97	300
b50r	38.04	44.73	-27.29	52.41	329
b75r	49.48	70.07	-3.61	70.16	357



Ein und Ausgabe: Farbmetrisches Drucker-Reflektiv-System ORS20_95a für relativen CIELAB-Buntton $h^* = \text{lab}^*h^* = h_{ab}/360 = 92/360 = 0.256$ $u^* = j00g$
Daten für jede Farbe:
 lab^*ich^* und lab^*icu^*
Elementar-Bunttontext:
 $u^* = j00g$
Kontrastreduzierungsfaktor:
 $c_R = 0.96$
Dreiecks-Helligkeit t^*



	$L^* = L^*_a$	a^*_a	b^*_a	C^*_{aba}	h^*_{aba}
O _{Ma}	48.75	62.56	37.91	73.15	31
Y _{Ma}	90.92	-9.88	83.88	84.46	97
L _{Ma}	52.69	-62.9	19.95	66.0	162
C _{Ma}	59.61	-27.85	-44.43	52.45	238
V _{Ma}	28.39	22.72	-42.42	48.13	298
M _{Ma}	49.58	71.08	-9.19	71.67	353
N _{Ma}	20.0	0.0	0.0	0.0	0
W _{Ma}	95.0	0.0	0.0	0.0	0
R _{CIE}	39.92	58.74	27.99	65.07	25
J _{CIE}	81.26	-2.88	71.56	71.62	92
G _{CIE}	52.23	-42.41	13.6	44.55	162
B _{CIE}	30.57	1.41	-46.46	46.49	272

Daten für Maximalfarbe (Ma):

$\text{LAB}^*\text{LAB}^*\text{Ma}$: 87 -2 80

$\text{LAB}^*\text{LCH}^*\text{Ma}$: 87 80 92

$\text{lab}^*\text{rgb}^*\text{Ma}$: 1.0 1.0 0.0

$\text{lab}^*\text{olv}^*\text{Ma}$: 1.0 0.91 0.0

Dreiecks-Helligkeit t^*

%Umfang

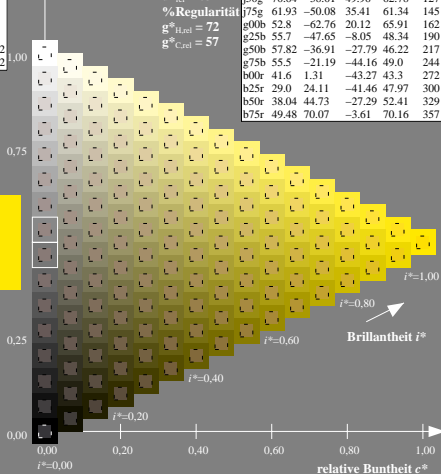
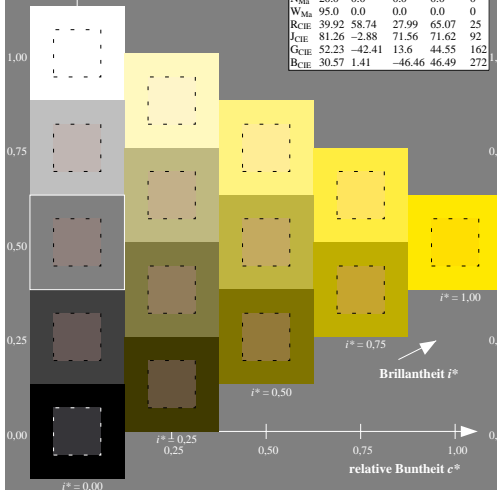
$u^*_{\text{rel}} = 83$

%Regularität

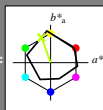
$g^*_{\text{H,rel}} = 72$

$g^*_{\text{C,rel}} = 57$

	$L^* = L^*_a$	a^*_a	b^*_a	C^*_{aba}	h^*_{aba}
r00j	48.88	63.91	30.45	70.79	25
r25j	55.85	50.36	45.65	67.97	42
r50j	65.45	33.86	56.12	65.54	59
r75j	75.19	17.13	66.73	68.89	76
j00g	87.03	-3.21	79.64	79.7	92
j25g	80.72	-24.03	66.82	71.01	110
j50g	70.64	-38.01	49.96	62.78	127
j75g	61.93	-50.08	35.41	61.34	145
g00b	52.8	-62.76	20.12	65.91	162
g25b	55.7	-47.65	-8.05	48.34	190
g50b	57.82	-36.91	-27.79	46.22	217
g75b	55.5	-21.19	-44.16	49.0	244
b00r	41.6	1.31	-43.27	43.3	272
b25r	29.0	24.11	-41.46	47.97	300
b50r	38.04	44.73	-27.29	52.41	329
b75r	49.48	70.07	-3.61	70.16	357



Ein und Ausgabe: Farbmetrisches Drucker-Reflektiv-System ORS20_95a für relativen CIELAB-Buntton $h^* = lab^*h^* = h_{ab}/360 = 110/360 = 0.305$ $u^* = j25g$
Daten für jede Farbe:
 lab^*ich^* und lab^*icu^*
Elementar-Bunttontext:
 $u^* = j25g$
Kontrastreduzierungsfaktor:
 $c_R = 0.96$
Dreiecks-Helligkeit t^*



ORS20_95a; adaptierte CIELAB-Daten					
$L^* = L^*_a$	a^*_a	b^*_a	C^*_{aba}	h^*_{aba}	
O _{Ma}	48.75	62.56	37.91	73.15	31
Y _{Ma}	90.92	-9.88	83.88	84.46	97
L _{Ma}	52.69	-62.9	19.95	66.0	162
C _{Ma}	59.61	-27.85	-44.43	52.45	238
V _{Ma}	28.39	22.72	-42.42	48.13	298
M _{Ma}	49.58	71.08	-9.19	71.67	353
N _{Ma}	20.0	0.0	0.0	0.0	0
W _{Ma}	95.0	0.0	0.0	0.0	0
R _{CIE}	39.92	58.74	27.99	65.07	25
J _{CIE}	81.26	-2.88	71.56	71.62	92
G _{CIE}	52.23	-42.41	13.6	44.55	162
B _{CIE}	30.57	1.41	-46.46	46.49	272

Daten für Maximalfarbe (Ma):

LAB^*LAB^*Ma : 81 -23 67

LAB^*LCH^*Ma : 81 71 110

lab^*rgb^*Ma : 0.75 1.0 0.0

lab^*olv^*Ma : 0.73 1.0 0.0

Dreiecks-Helligkeit t^*

%Umfang

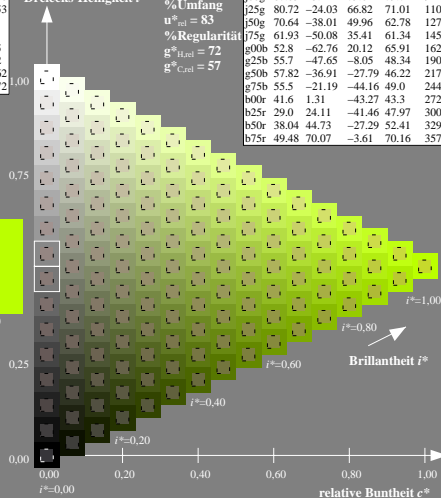
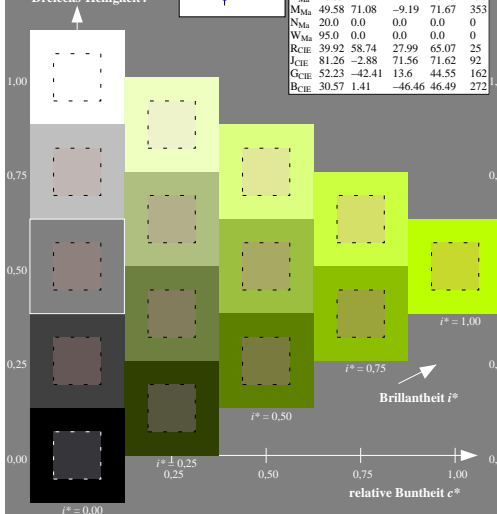
$u^*_{rel} = 83$

%Regularität

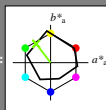
$g^*_{H,rel} = 72$

$g^*_{C,rel} = 57$

ORS20_95a; adaptierte CIELAB-Daten					
$L^* = L^*_a$	a^*_a	b^*_a	C^*_{aba}	h^*_{aba}	
r00j	48.88	63.91	30.45	70.79	25
r25j	55.85	50.36	45.65	67.97	42
r50j	65.45	33.86	56.12	65.54	59
r75j	75.19	17.13	66.73	68.89	76
j00g	87.03	-3.21	79.64	79.7	92
j25g	80.72	-24.03	66.82	71.01	110
j50g	70.64	-38.01	49.96	62.78	127
j75g	61.93	-50.08	35.41	61.34	145
g00b	52.8	-62.76	20.12	65.91	162
g25b	55.7	-47.65	-8.05	48.34	190
g50b	57.82	-36.91	-27.79	46.22	217
g75b	55.5	-21.19	-44.16	49.0	244
b00r	41.6	1.31	-43.27	43.3	272
b25r	29.0	24.11	-41.46	47.97	300
b50r	38.04	44.73	-27.29	52.41	329
b75r	49.48	70.07	-3.61	70.16	357



Ein und Ausgabe: Farbmetrisches Drucker-Reflektiv-System ORS20_95a für relativen CIELAB-Buntton $h^* = lab^*h^* = h_{ab}/360 = 127/360 = 0.354$ $u^* = j50g$
Daten für jede Farbe:
 lab^*ich^* und lab^*icu^*
Elementar-Bunttontext:
 $u^* = j50g$
Kontrastreduzierungsfaktor:
 $c_R = 0.96$
Dreiecks-Helligkeit t^*



ORS20_95a; adaptierte CIELAB-Daten					
$L^* = L^*_a$	a^*_a	b^*_a	C^*_{aba}	h^*_{aba}	
O _{Ma}	48.75	62.56	37.91	73.15	31
Y _{Ma}	90.92	-9.88	83.88	84.46	97
L _{Ma}	52.69	-62.9	19.95	66.0	162
C _{Ma}	59.61	-27.85	-44.43	52.45	238
V _{Ma}	28.39	22.72	-42.42	48.13	298
M _{Ma}	49.58	71.08	-9.19	71.67	353
N _{Ma}	20.0	0.0	0.0	0.0	0
W _{Ma}	95.0	0.0	0.0	0.0	0
R _{CIE}	39.92	58.74	27.99	65.07	25
J _{CIE}	81.26	-2.88	71.56	71.62	92
G _{CIE}	52.23	-42.41	13.6	44.55	162
B _{CIE}	30.57	1.41	-46.46	46.49	272

Daten für Maximalfarbe (Ma):

LAB^*LAB^*Ma : 71 -37 50

LAB^*LCH^*Ma : 71 63 127

lab^*rgb^*Ma : 0.5 1.0 0.0

lab^*olv^*Ma : 0.47 1.0 0.0

Dreiecks-Helligkeit t^*

%Umfang

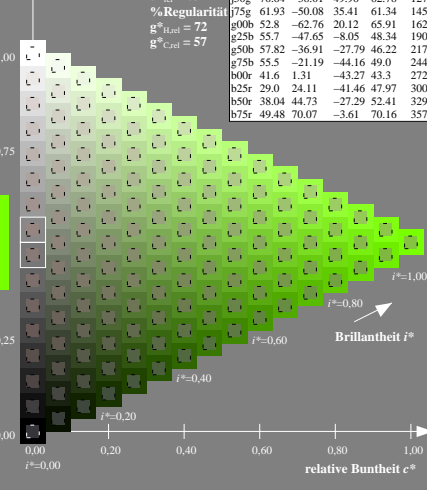
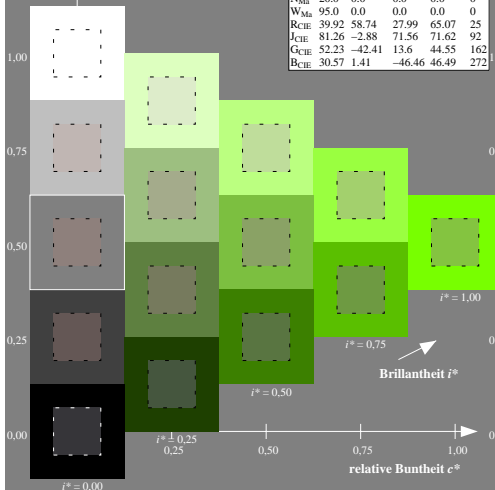
$u^*_{rel} = 83$

%Regularität

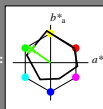
$g^*_{H,rel} = 72$

$g^*_{C,rel} = 57$

ORS20_95a; adaptierte CIELAB-Daten					
$L^* = L^*_a$	a^*_a	b^*_a	C^*_{aba}	h^*_{aba}	
r00j	48.88	63.91	30.45	70.79	25
r25j	55.85	50.36	45.65	67.97	42
r50j	65.45	33.86	56.12	65.54	59
r75j	75.19	17.13	66.73	68.89	76
j00g	87.03	-3.21	79.64	79.7	92
j25g	80.72	-24.03	66.82	71.01	110
j50g	70.64	-38.01	49.96	62.78	127
j75g	61.93	-50.08	35.41	61.34	145
g00b	52.8	-62.76	20.12	65.91	162
g25b	55.7	-47.65	-8.05	48.34	190
g50b	57.82	-36.91	-27.79	46.22	217
g75b	55.5	-21.19	-44.16	49.0	244
b00r	41.6	1.31	-43.27	43.3	272
b25r	29.0	24.11	-41.46	47.97	300
b50r	38.04	44.73	-27.29	52.41	329
b75r	49.48	70.07	-3.61	70.16	357



Ein und Ausgabe: Farbmetrisches Drucker-Reflektiv-System ORS20_95a für relativen CIELAB-Buntton $h^* = lab^*h^* = h_{ab}/360 = 145/360 = 0.402$ $u^* = j75g$
Daten für jede Farbe:
 lab^*ich^* und lab^*icu^*
Elementar-Bunttontext:
 $u^* = j75g$
Kontrastreduzierungsfaktor:
 $c_R = 0.96$
Dreiecks-Helligkeit t^*



ORS20_95a; adaptierte CIELAB-Daten					
$L^* = L^*_a$	a^*_a	b^*_a	C^*_{aba}	h^*_{aba}	
O _{Ma}	48.75	62.56	37.91	73.15	31
Y _{Ma}	90.92	-9.88	83.88	84.46	97
L _{Ma}	52.69	-62.9	19.95	66.0	162
C _{Ma}	59.61	-27.85	-44.43	52.45	238
V _{Ma}	28.39	22.72	-42.42	48.13	298
M _{Ma}	49.58	71.08	-9.19	71.67	353
N _{Ma}	20.0	0.0	0.0	0.0	0
W _{Ma}	95.0	0.0	0.0	0.0	0
R _{CIE}	39.92	58.74	27.99	65.07	25
J _{CIE}	81.26	-2.88	71.56	71.62	92
G _{CIE}	52.23	-42.41	13.6	44.55	162
B _{CIE}	30.57	1.41	-46.46	46.49	272

Daten für Maximalfarbe (Ma):

LAB^*LAB^*Ma : 62 -49 35
 LAB^*LCH^*Ma : 62 61 145
 lab^*rgb^*Ma : 0.25 1.0 0.0
 lab^*olv^*Ma : 0.24 1.0 0.0

ORS20_95a; adaptierte CIELAB-Daten					
$L^* = L^*_a$	a^*_a	b^*_a	C^*_{aba}	h^*_{aba}	
r00j	48.88	63.91	30.45	70.79	25
r25j	55.85	50.36	45.65	67.97	42
r50j	65.45	33.86	56.12	65.54	59
r75j	75.19	17.13	66.73	68.89	76
j00g	87.03	-3.21	79.64	79.7	92
j25g	80.72	-24.03	66.82	71.01	110
j50g	70.64	-38.01	49.96	62.78	127
j75g	61.93	-50.08	35.41	61.34	145
g00b	52.8	-62.76	20.12	65.91	162
g25b	55.7	-47.65	-8.05	48.34	190
g50b	57.82	-36.91	-27.79	46.22	217
g75b	55.5	-21.19	-44.16	49.0	244
b00r	41.6	1.31	-43.27	43.3	272
b25r	29.0	24.11	-41.46	47.97	300
b50r	38.04	44.73	-27.29	52.41	329
b75r	49.48	70.07	-3.61	70.16	357

Dreiecks-Helligkeit t^*

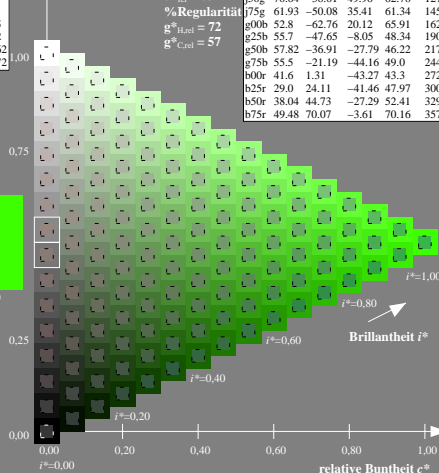
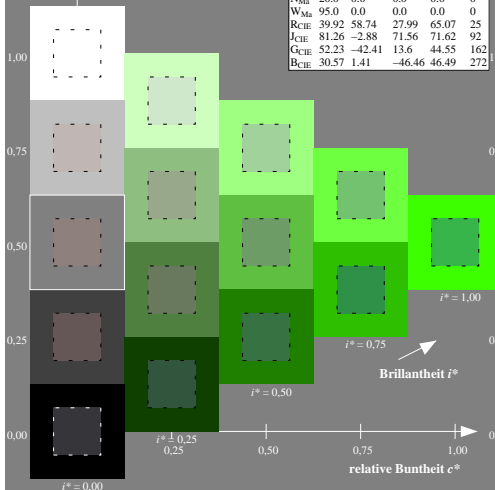
%Umfang

$u^*_{rel} = 83$

%Regularität

$g^*_{H,rel} = 72$

$g^*_{C,rel} = 57$

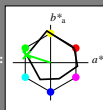


Siehe ähnliche Dateien: <http://www.ps.bam.de/Dg99/>; [http://www.ps.bam.de/Dg99/Version 2.1, to=1.1, Colsp=1](http://www.ps.bam.de/Dg99/Version%202.1%20to%201.1%20Colsp%201.htm)

BAM-Registrierung: 20080701-Dg99/L99G00N1.PS/.TXT
Anwendung für Beurteilung und Messung von Drucker- oder Monitorsystemen

BAM-Material-Code=matda

Ein und Ausgabe: Farbmetrisches Drucker-Reflektiv-System ORS20_95a für relativen CIELAB-Buntton $h^* = lab^*h^* = h_{ab}/360 = 162/360 = 0.451$ $u^* = g00b$
Daten für jede Farbe:
 lab^*ich^* und lab^*icu^*
Elementar-Bunttontext:
 $u^* = g00b$
Kontrastreduzierungsfaktor:
 $c_R = 0.96$
Dreiecks-Helligkeit t^*



ORS20_95a; adaptierte CIELAB-Daten					
$L^* = L^*_a$	a^*_a	b^*_a	C^*_{aba}	h^*_{aba}	
O _{Ma}	48.75	62.56	37.91	73.15	31
Y _{Ma}	90.92	-9.88	83.88	84.46	97
L _{Ma}	52.69	-62.9	19.95	66.0	162
C _{Ma}	59.61	-27.85	-44.43	52.45	238
V _{Ma}	28.39	22.72	-42.42	48.13	298
M _{Ma}	49.58	71.08	-9.19	71.67	353
N _{Ma}	20.0	0.0	0.0	0.0	0
W _{Ma}	95.0	0.0	0.0	0.0	0
R _{CIE}	39.92	58.74	27.99	65.07	25
J _{CIE}	81.26	-2.88	71.56	71.62	92
G _{CIE}	52.23	-42.41	13.6	44.55	162
B _{CIE}	30.57	1.41	-46.46	46.49	272

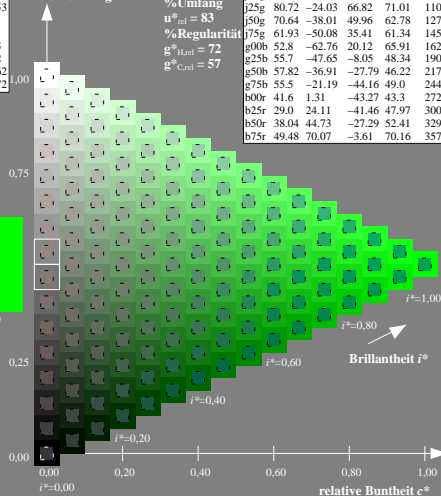
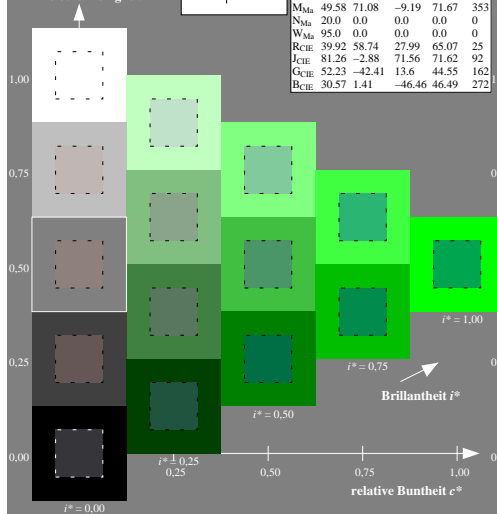
Daten für Maximalfarbe (Ma):

LAB^*LAB^*Ma : 53 -62 20
 LAB^*LCH^*Ma : 53 66 162
 lab^*rgb^*Ma : 0.0 1.0 0.0
 lab^*olv^*Ma : 0.0 1.0 0.0

ORS20_95a; adaptierte CIELAB-Daten					
$L^* = L^*_a$	a^*_a	b^*_a	C^*_{aba}	h^*_{aba}	
r00j	48.88	63.91	30.45	70.79	25
r25j	55.85	50.36	45.65	67.97	42
r50j	65.45	33.86	56.12	65.54	59
r75j	75.19	17.13	66.73	68.89	76
j00g	87.03	-3.21	79.64	79.7	92
j25g	80.72	-24.03	66.82	71.01	110
j50g	70.64	-38.01	49.96	62.78	127
j75g	61.93	-50.08	35.41	61.34	145
g00b	52.8	-62.76	20.12	65.91	162
g25b	55.7	-47.65	-8.05	48.34	190
g50b	57.82	-36.91	-27.79	46.22	217
g75b	55.5	-21.19	-44.16	49.0	244
b00r	41.6	1.31	-43.27	43.3	272
b25r	29.0	24.11	-41.46	47.97	300
b50r	38.04	44.73	-27.29	52.41	329
b75r	49.48	70.07	-3.61	70.16	357

Dreiecks-Helligkeit t^*

%Umfang
 $u^*_{rel} = 83$
%Regularität
 $g^*_{H,rel} = 72$
 $g^*_{C,rel} = 57$



Siehe ähnliche Dateien: <http://www.ps.bam.de/Dg99/>; [http://www.ps.bam.de/Dg99/Version 2.1, to 1.1, Colsp=1](http://www.ps.bam.de/Dg99/Version%202.1%20to%201.1%20Colsp%201)

BAM-Registrierung: 20080701-Dg99/L99G00N1.PS/.TXT
Anwendung für Beurteilung und Messung von Drucker- oder Monitorsystemen

BAM-Material-Code=thada